

## 上向流ろ過のろ層閉塞について

東京大学 工学部 正員 石橋多聞  
 " " " 綾日出教  
 " 大学院 学生員 山県昌継

## 1 はじめに

ある時間における、ろ層内の汚泥量は指数法則に従って分布するが、ろ過経続の全期間にわたって同じ関数関係を用いるのは一般に正しくないとされている。<sup>(1)</sup> 従来、土砂粒子間の水の流れに対する損失水頭の計算は、Darcyの層流抵抗法則から求めているが、ろ過の経緯について、原水中のフロックは、ろ層内に滞留される。そのため間隙の水理条件が変化するので、ろ過には適用出来ない。本研究は、ろ層の閉塞を定量的に示す因子の解明を試みている。

## 2 実験装置および実験方法

フローチート: 図-1

ろ過筒: プラスチック管(内径80 mm長さ600 mm)  
 電極およびマノメーター: ろ過筒下部より50 mm間隔で高さ450 mmまで取り付けあるマノメータ

ーの一部は高さ100 mm間まで25 mm間) ろ層運動防止; ろ層上部より網と格子でおさえである。  
 原水: 水道水に人工濁度(カオリソ)50 ppmと凝集剤(硫酸ばん土)20 ppmを加え、急速かくはんタンクで混合し、微小なマイクロフロックの状態でろ過を試みている。冬期には恒温槽を使用して水温を17°C以上に保った。ろ材: 均等係数(U.C)1.0 有効径(E.S)0.72, 1.02, 1.44 mm(以上砂) 0.60 mmガラス球を使用した。U.C 1.0 のろ材、およびガラス球を使用したのは、ろ層内の水理条件を求めやすくなるためである。流速測定: トレー(ナトリウム)1%液500 mlを注入し、ろ層内の伝導度変化を記録計で記録した。流速は、二点間のトレー濃度分布の頂点間より計算している。

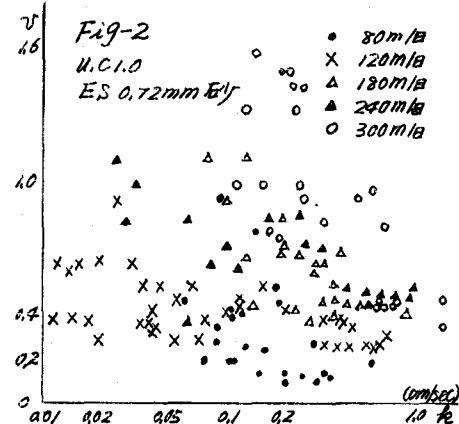
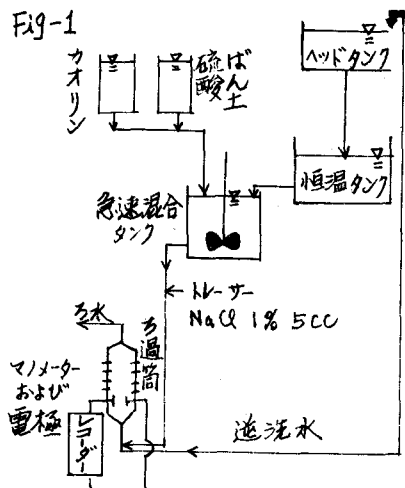
## 3 実験結果および考察

閉塞を生じていないろ層の損失水頭の計算にはDarcyの層流抵抗法則

$$h_f = V^2 l / k \quad (1) \quad V: \text{ろ過}$$

$l$ : ろ層厚

$k$ : 透水係数



但し、 $k$ は、Fair-Hatch の重力の加速度  
によると

$$k = 0.937g \frac{d_s^4}{C_D} \frac{ds}{V} \quad (2)$$

ろ層内においては、(2)式中の $d_s$ の値は時間と共に指  
数関数の形をもって減少する。ろ層内の粒子に、フ  
ロックが付着するため、(2)式において $ds$ の時間に  
よる変化を考慮せねばならない。ろ層内の流速 $V$ が  
測定され、初期間隙率 $\alpha$ が計算されても、(2)の $C_D^{10}$   
は計算出来ない。そこで、(2)を次のように、フロ  
ック抑留によるものと、流速によるものとの積と考  
える。

$$k = H(C) \cdot \frac{1}{V} \quad (3)$$

$H(C)$ ；フロック量の関数  $H$ ；ろ層内流速

そこで、透水係数 $K$ とろ層内流速 $V$ との関係を検討した。  
図-2は縦軸にろ層内流速、横軸に透水係数 $K$ を目盛つてある。流速が小さい場合には、ろ層内流速は殆んど変化しないが、透水係数 $K$ は減少している。流速が速くなるにつれて、透水係数の減少と共にろ層内流速は速くなり、グラフで右下りの勾配は急に  
なって来る。この関係は、他のろ材、図-3について  
も同様である。

図-4は縦軸にフロック抑留量 $C$ （ろ材乾燥1kgあたりに付着した乾燥フロックmg数）横軸に透水係数 $K$ を目盛つてある。（ろ過を中止する直前の透水係数と止め後、ろ材を取り出し、フロック抑留量を求めている。）流速が240m/dayまでは $C$ と $K$ の関係は右下りの直線関係を示し、360m/dayでは、その関係  
は不安定となり、480m/dayになると、 $C$ が変化する  
が $C$ の値は殆んど変化しない。これは、流速が小さい場合には、流路に直接影響をおぼす間隙を減  
少させ、又みかけの粒径も増大せているものと思われる。流速が速くなると(480m/day)、ろ層の流  
路には直接関係のない間隙だけが減少すると思われる。このような流速の場合には、たとえフロック  
が、ろ材粒子に付着しても、次から次へとフロックが付着していかず、次の間隙および粒子に移動さ  
せられると思われる。即ち、流速の増大によって、フロック粒子のせん断強度よりも、水によるせん  
断強度が大きいものと思われる。

(注)(1) 水理公式集 土木学会編 昭和38年増補改訂版。

$C_D$ ；抵抗係数  $\alpha$ ；間隙率

Fig-3

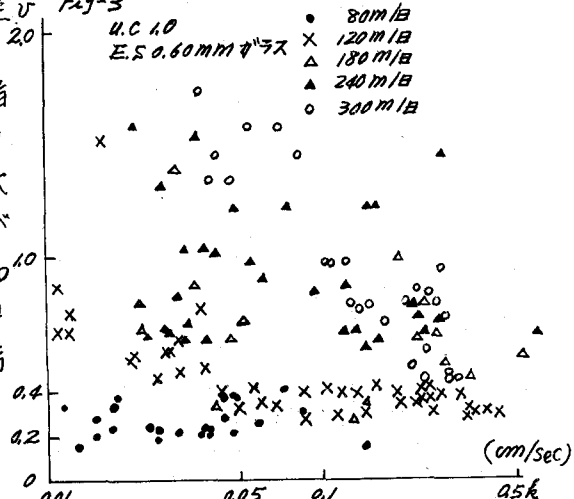


Fig-4

